

尉迟寺新石器时代墓地人骨的观察与鉴定

张 君 韩康信

(中国社会科学院考古研究所, 北京 100710)

摘 要

本文对安徽蒙城尉迟寺遗址大汶口文化晚期的6个比较完整的头骨进行了形态观察和测量数据的多元统计分析, 结果表明, 尉迟寺新石器时代居民归属蒙古人种, 它在表现出近于东亚蒙古类群的同时也反映出某些类似南亚蒙古人种特点, 如低眶和阔鼻倾向等。这种南亚特点的表现也许可以认为是保留了旧石器晚期居民的特征。

关键词 尉迟寺, 新石器时代, 东亚蒙古人种

中国社会科学院考古所安徽工作队自1989年以来, 先后在安徽蒙城尉迟寺遗址进行了九次发掘。该遗址包括大汶口文化晚期和龙山文化两个时期的遗存, 其中以大汶口文化晚期遗存保存最好。两类遗存共揭露出墓葬203座, 灰坑113座。其中, 大汶口文化晚期墓葬192座, 包括成人墓、儿童土坑墓和儿童瓮棺墓。此外, 龙山时期的成人墓和儿童土坑墓共11座。有些墓葬的人骨保存极差。本文对其中131座墓和1个灰坑(龙山时期)出土的人骨进行了观察和鉴定。除一座灰坑出土了10个人头骨外, 其余墓葬均为单人葬。该遗址经碳十四测定的年代为距今4500—4800年。

1 性别、年龄分布

共鉴定人骨145个, 除19个个体出自龙山时期的墓葬和灰坑外, 其余均属于大汶口文化晚期。在鉴定的人骨中, 成年个体66人, 未成年个体79人, 后者占全部个体数的半数多(约55%)。鉴定个体的性别、年龄情况参见性别、年龄分布表。所有个体中, 男性46个, 女性17个, 性别不明者82个, 男女性别比例是2.7:1, 男性明显多于女性。男性多死于壮年期和中年期(24-55岁), 约占男性死亡人数的63%; 女性死于壮年期(24-35岁)的比例较高, 超过女性死亡人数的40%, 女性青年期的死亡率高于男性。男女合计, 绝大多数死于壮年和中年期, 活到老年者无。成年男性平均死亡年龄为31.2岁, 女性平均死亡年龄为29岁。女性平均死亡年龄低于男性的原因可能与女性在孕产时期缺乏卫生常识和护理措施而容易引起产褥疾病或难产等致死有关。鉴定个体的性别、年龄分布统计如下:

年龄分期	男	女	性别不明	合计
未成年(< 14 岁)	3(6.5%)		76(92.7%)	79(54.5%)
青年期(15-23 岁)	7(15.2%)	5(29.4%)	1(1.2%)	13(9.0%)
壮年期(24-35 岁)	15(32.6%)	7(41.2%)		22(15.2%)
中年期(36-55 岁)	14(30.4%)	3(17.6%)	1(1.2%)	18(12.4%)
老年期(> 56 岁)				
只确定为成年	7(15.2%)	2(11.8%)	4(4.8%)	13(9.0%)
合 计	46	17	82	145

注: 年龄分期根据吴汝康等编著的《人体骨骼测量方法》

应该注意, 该墓地未成年个体, 尤其以婴幼儿死亡比例相当高, 初步统计结果如下:

年龄分期	例数	比例
< 0.5 岁	25	31.6%
0.5—3.0 岁	33	41.8%
3.0—6.0 岁	13	16.5%
6.0—12.0 岁	7	8.9%
12.0—14.0 岁	1	1.3%
合 计	79	

死于 3 岁以下的占全部未成年个体的 73.4%, 6 岁以下的死亡率竟高达 89.9%, 这个统计显示出尉迟寺墓地人口中婴幼儿的高死亡率。6-14 岁的儿童死亡率趋低, 仅占 10.2%。

2 头骨形态观察

提供本文分析研究的有 6 个比较完整的头骨, 男性 5 个, 女性 1 个, 全部属于大汶口文化晚期。头骨非测量特征的观察见表 1。

颅顶 男、女性均为卵圆形颅, 颅缝简单, 没有锯齿和复杂类型, 矢状嵴弱或无。

眉弓和眉间突度 中等偏弱者居多, 显著突出的少。

额部 额坡度多数中等倾斜, 女性较陡直, 未出现额中缝。

鼻部 鼻根凹陷浅或无, 鼻梁形态多为凹凸型或凹型, 梨状孔全部为梨形, 梨状孔下缘多为婴儿型, 部分头骨鼻棘较发达。

眼眶 男性为方形或斜方形眶, 女性为圆形眶。男性眶口平面位置与 FH 平面较近垂直, 女性后斜。

犬齿窝 绝大多数浅。

翼区 全部为 H 型。

枕外隆突 绝大多数不发达。

腭形 椭圆型腭, 80% 的个体有腭圆枕。

下颌 男性具有圆形或角形颏, 女性为尖形颏。男性下颌角直形或外翻, 女性则内翻, 下颌圆枕出现率低。

指数和角度特征反映的颅面部综合类型(表 2)是: 中长颅型配合高颅型和狭颅型, 垂直颅面指数小, 中狭额类型, 中上面类型居多, 眼眶为中低眶类型, 男性阔鼻类型多, 鼻根指数中等或小, 即鼻梁隆起程度小, 鼻骨角较小, 腭为阔腭型, 短宽齿槽, 面部扁平度大(鼻颧角及颧上颌角中等—大), 矢向突度(总面角)为平颌型, 齿槽面角多为突颌型(图版 I, 图版 II No. 1—3)。

表 1 尉迟寺个体头骨形态观察

The morphological traits of Yuchisi skulls

项目	M 70 男	M 64 男	M 99 男	M 152 男	M 145 男	M 5 女
颅形	卵圆形	卵圆形	卵圆形	卵圆形	卵圆形	卵圆形
眉弓突度	中等	中等	中等	显著	中等	弱
眉间突度	稍显	稍显	不显	中等	稍显	不显
鼻根凹	无	无	无	浅	浅	无
额坡度	斜	中斜	无	中斜	中斜	直
额中缝	无	无	无	无	无	无
眶形	方形	斜方形	斜方形	斜方形	方形	圆形
眶口平面位置	垂直	垂直	垂直	垂直	垂直	后斜
梨状孔	梨形	梨形	梨形	梨形	梨形	梨形
梨状孔下缘	锐型	锐型	钝型	钝型	钝型	钝型
鼻棘	显著	显著	—	稍显	稍显	稍显
犬齿窝	浅	浅	浅	深	浅	中等
翼区	H 型	H 型	H 型	H 型	H 型	H 型
鼻梁形态	凹凸型	凹凸型	凹型	凹型	凹型	—
鼻骨形态	I 型	I 型	I 型	I 型	I 型	I 型
矢状嵴	弱	弱	中等	无	无	无
枕外隆突	稍显	稍显	中等	稍显	稍显	缺
腭型	椭圆形	椭圆形	椭圆形	椭圆形	椭圆形	椭圆形
腭圆枕	峭状	丘状	峭状	无	峭状	峭状
颞形	-	-	角形	圆形	圆形	尖形
下颌角	-	-	外翻	外翻	直	内翻
颞孔位置-左	-	-	P2M 1 位	P1P2 位	P2M 1 位	P2M 1 位
下颌圆枕-左	-	-	小	无	无	无
“摇椅”下颌	-	-	非	非	轻度	轻度
前窗段	微波	微波	微波	微波	微波	微波
顶段	深波	深波	深波	深波	深波	深波
顶孔段	深波	微波	微波	微波	微波	微波
后段	深波	深波	深波	微波	微波	微波

表 2 尉迟寺人骨颅面部指数和角度特征

The traits of cranial-facial index and angles of Yuchisi

马丁号	项目	M 70 男	M 64 男	M 99 男	M 152 男	M 145 男	M 5 女
8 1	颅指数	长颅型	长颅型	特长颅型	中颅型	中颅型	中颅型
17 1	颅长高指数	高颅型	高颅型	高颅型	高颅型	高颅型	高颅型
17 8	颅宽高指数	狭颅	狭颅	狭颅	狭颅	狭颅	狭颅
48 17	垂直颅面指数	小	很小	-	小	很小	小
9 8	额宽指数	狭额型	狭额型	中额型	狭额型	中额型	中额型
48 45	上面指数	狭上面型	中上面型	中上面型	中上面型	中上面型	阔上面型
47 45	全面指数	-	-	狭面型	狭面型	阔面型	中面型
52 51	眶指数	中眶型	中眶型	中眶型	中眶型	低眶型	中眶型
54 55	鼻指数	狭鼻型	阔鼻型	阔鼻型	阔鼻型	中鼻型	阔鼻型
SS SC	鼻根指数	很小	中等	中等	小	中等	小
63 62	腭指数	阔腭型	阔腭型	阔腭型	阔腭型	阔腭型	阔腭型
40 5	面突度指数	平颌	平颌	平颌	平颌	平颌	平颌
72	总面角	平颌型	平颌型	平颌型	中颌型	平颌型	平颌型
74	齿槽面角	突颌型	平颌型	突颌型	突颌型	特突颌型	突颌型
77	鼻颧角	小	中等	很小	很大	很大	很大
< ZM 1	颧上颌角	中等	大	中等	中等	中等	很大
75-1	鼻骨角	很小	小	小	很小	很小	-

3 头骨测量值的分析

3.1 与现代亚洲蒙古人种各地域类型的比较

18 项主要的颅面部测量项目比较见表 3。

表 3 尉迟寺头骨测量值与亚洲蒙古人种类型的比较 (男)

Comparison of Yuchisi cranial measurements with Asian Mongoloid

马丁号	比较项目	尉迟寺	亚洲蒙古人种				
			北蒙古人种	东北蒙古人种	东蒙古人种	南蒙古人种	亚洲蒙古人种范围
1	颅长	185.3	176.7-192.7	181.8-192.4	175.0-180.8	168.4-181.3	168.4-192.7
8	颅宽	137.4	142.3-154.6	134.3-142.6	137.6-142.6	135.7-143.6	134.3-154.6
8 1	颅指数	74.3	75.4-85.9	69.8-79.0	77.1-81.5	76.6-83.4	69.8-85.9
17	颅高	144.5	125.0-135.8	133.8-141.1	136.4-140.2	134.0-140.9	125.0-141.1
17 1	颅长高指数	79.2	67.4-74.8	73.2-75.6	75.3-80.2	75.8-80.2	67.4-80.2
17 8	颅宽高指数	104.8	83.5-94.5	92.1-100.0	96.8-100.3	94.4-101.3	83.5-101.3
9	最小额宽	92.1	89.0-97.0	94.6-98.2	89.0-93.7	89.7-95.4	89.0-98.2
32	额倾角	85.4	77.5-84.2	77.9-80.2	83.3-86.4	82.5-91.7	77.5-91.7
45	颧宽	133.8	139.0-143.7	137.5-142.4	130.6-136.7	131.4-136.2	130.6-143.7
48	上面高	70.3	73.3-79.6	74.5-79.2	71.0-76.6	59.8-71.9	59.8-79.6
48 17	垂直颅面指数	48.6	56.1-61.2	54.1-58.5	51.7-54.9	43.8-52.5	43.8-61.2
48 45	面指数	52.5	51.2-55.4	51.3-56.2	51.7-56.8	45.1-53.7	45.1-56.8
77	鼻颧面	142.7	144.3-151.4	146.2-152.0	144.0-147.3	141.0-147.8	141.0-152.0
72	面角	85.8	84.8-89.0	83.1-86.3	80.6-86.5	80.6-86.7	80.6-89.0
52 51	眶指数	82.8	79.6-86.0	81.3-84.5	80.7-85.0	78.2-86.8	78.2-86.6
52 55	鼻指数	51.5	47.2-50.7	42.7-47.3	45.2-50.3	47.7-55.5	42.7-55.5
SS SC	鼻根指数	30.1	26.7-49.7	34.8-45.8	31.7-37.2	26.1-43.2	26.1-49.4
75-1	鼻骨角	15.2	16.9-24.9	14.8-23.9	13.7-19.8	12.0-18.3	12.0-24.9

注: 1) 表中长度单位: 毫米, 角度: 度, 指数: 百分比

2) 亚洲蒙古人种组间变异值取自 H. H. 切博克萨罗夫的《中国民族人类学》, 科学出版社, 1982 年 (俄文)

尉迟寺头骨的平均颅高很大, 超出了现代亚洲蒙古人种的变异范围, 与其相关的颅宽高指数也大于其最高值。很大的颅高属于华北新石器时代人骨的特征之一。其余 16 项测量项目全部落在蒙古人种变异区域。据此, 尉迟寺人骨属于蒙古人种类型没有疑问。

与北蒙古人种比较, 只在 6 项测量值落在其变异区域, 在头部和面部的主要特征上, 两者有明显偏离。

与东北蒙古人种比较, 两者偏离较大, 只在长颅型特点、面指数、面角、眶指数等特征上两者比较有接近。

与东蒙古人种比较, 在颅型上偏离较明显, 在鼻、面部形态上比较接近。

与南蒙古人种比较, 两者在头型上有些偏离, 其他多数特征表现得比较一致。尤其是尉迟寺面高较低, 鼻骨较低平, 有阔鼻倾向, 这些特点似乎使该组更接近于南蒙古人种。

3.2 与中国新石器时代人骨的比较

对比组涉及 6 个省 12 个地点的新石器时代人骨。包括陕西省的宝鸡 (颜 等, 1960)、半坡 (颜 等, 1960)、华县 (颜 , 1962), 山东省的呈子 (韩康信, 1990)、大汶口 (颜

， 1972)、西夏侯 (颜 ， 1973)、野店 (张振标, 1980)， 河南省的下王岗 (张振标, 1984)、庙底沟 (韩康信等, 1979)， 广东省河宕 (韩康信等, 1982)， 福建省昙石山 (韩康信等, 1976)， 江苏省高邮龙虬庄 (本文第二作者提供数据)。

各组的平均测值比较见表 4， 据此， 作如下的多变量分析。

(1) 12 项绝对测值的主成分分析

用于统计分析的项目有颅长、 颅宽、 颅高、 额宽、 颧宽、 上面高、 眶高、 颅底长、 面底长、 鼻高、 鼻宽和齿槽面角。 以上变量在前两个主成分上的因子载荷及复合贡献率如下：

变量	1	2	3	4	5	6	复合贡献率
PC1	- 0. 6728	0. 8186	0. 3670	0. 7529	0. 7454	0. 5696	27. 6%
PC2	0. 3943	0. 1620	- 0. 4509	- 0. 1265	- 0. 0484	0. 6255	51. 2%
变量	7	8	9	10	11	12	
PC1	- 0. 0555	0. 3144	- 0. 0150	0. 6288	- 0. 3075	0. 1061	
PC2	0. 7845	- 0. 5523	- 0. 8242	0. 2751	- 0. 1386	0. 5881	

第一主成分 (PC1) 上的重要载荷变量有颅宽、 额宽、 颧宽， 主要代表颅面部的宽度特征； 第二主成分 (PC2) 上的重要因子有面底长、 齿槽面角、 眶高、 上面高， 反映面部的高度特征及齿槽突颌程度。 前两个主成分信息量不重叠， 且复合贡献率达 51%。 根据主成分得分， 绘出第一、 二主成分的二维坐标图 (图 1)。 图上可以划分两大部分， 左边为中国南方的昙石山和河宕两组， 主要代表近于南蒙古人种的类型， 右边包括陕西、 山东、 河南等其他新石器时代人骨， 这一类群与蒙古人种东亚类型比较接近。 尉迟寺人骨似乎介于两部分之间， 或者说处于中国的北部和南部新石器时代类群之间， 这样的位置关系主要表现在第一主成分上， 即在颅宽、 额宽和颧宽等颅面部宽度特征上， 尉迟寺组比南部类群的平均值大， 而比东部类群的平均值小。

(2) 7 项指数的主成分分析

7 项指数是颅指数、 颅长高指数、 颅宽高指数、 面指数、 垂直颅面指数和鼻指数， 它们代表头型、 面型、 眶型和鼻型。 变量在前两个主成分上的载荷及复合贡献率如下：

变量	1	2	3	4	5	6	7	复合贡献率
PC1	- 0. 8788	- 0. 5755	0. 5242	- 0. 5487	- 0. 7641	- 0. 3397	0. 7281	41. 6%
PC2	- 0. 0868	0. 5196	0. 7940	0. 5947	- 0. 4070	- 0. 2345	- 0. 1354	63. 0%

第一主成分上的重要载荷变量有颅指数， 垂直颅面指数和鼻指数， 主要反映头型和鼻型特点。 第二主成分上的重要载荷因子有颅宽高指数和面指数， 反映头的宽度类型和面型特点， 两个主成分的信息量不重叠， 复合贡献率达 63%。 根据每个样本的主成分得分， 绘出前两个主成分的二维坐标图 (图 2)。

尉迟寺在第一主成分上与河宕及昙石山两组相对更接近， 即在颅指数、 垂直颅面指数反映的头型特点及鼻指数代表的鼻型特点上， 它们之间可能存在比较一致的变异趋势。 换句话说， 尉迟寺头骨的长头型、 低面及阔鼻倾向等特点更多地接近中国新石器时代南方类群。

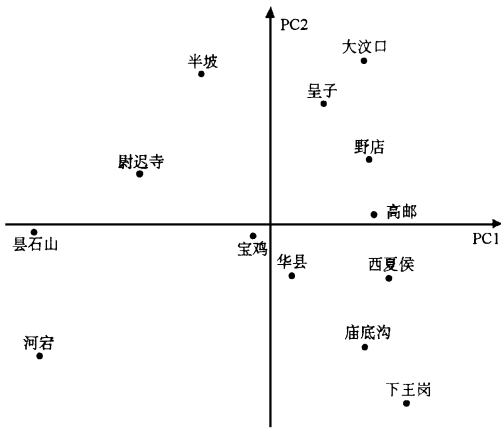


图 1 12 项绝对测值的主成分散点图
Scattergram based on 12 measurements
in 1st and 2nd factors

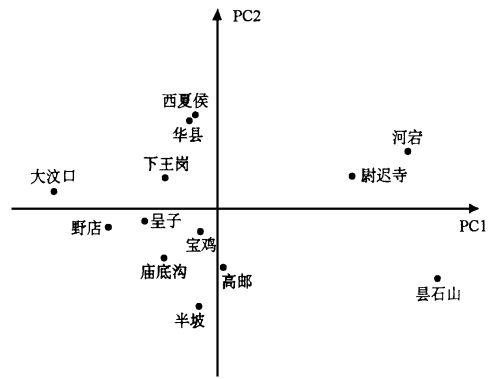


图 2 7 项指数的主成分散点图
Scattergram based on 7 index
in 1st and 2nd factors

(3) 11 项绝对测值的聚类分析

方法是计算 13 个样本之间的欧氏距离系数 D_{ik} 值。其公式为:

$$D_{ik} = \sqrt{\frac{\sum_{j=1}^m (x_{ij} - x_{kj})^2}{m}}$$

其中: i, k 代表颅骨组 $i, k = 1, 2, \dots, 13$ j 代表项目 m 代表项目数

两组之间的形态关系以 D_{ik} 值确定, D_{ik} 值越小, 两组之间越接近, 并越早聚类。

用于聚类分析的 11 个项目取自表 4 中的前 11 个绝对测量值。计算所得 D_{ik} 值矩阵如

下:

	1	2	3	4	5	6	7	8	9	10	11	12
2	0.73											
3	0.75	0.56										
4	10.8	0.64	0.85									
5	0.88	0.53	0.62	0.99								
6	0.46	0.73	0.66	1.07	0.83							
7	0.72	0.75	0.63	0.79	0.80	0.66						
8	0.87	0.63	0.56	1.05	0.34	0.77	0.71					
9	1.22	0.66	0.90	0.60	0.82	1.22	0.86	0.87				
10	1.32	0.72	0.94	0.58	0.92	1.26	0.96	0.94	0.40			
11	1.11	0.62	0.88	0.88	0.84	1.18	1.10	0.90	0.72	0.68		
12	1.00	0.90	1.11	0.77	1.37	1.11	1.12	1.43	1.19	1.16	1.13	
13	0.90	0.60	0.64	0.57	0.78	0.87	0.57	0.77	0.73	0.80	1.04	1.01

1—13 组的地点顺序同表 4。

单向考虑尉迟寺与其他组的 d_{ik} 值, 它与大汶口、西夏侯、宝鸡、半坡等比较接近, 而

与河宕、昙石山组的 d_{ik} 值最大。据各组之间的亲疏关系聚类图 3, 尉迟寺与大汶口组首先聚类, 可能说明它们之间比较接近, 南方的昙石山组与其他组较为疏远。其余各新石器时代组可视为一大类群, 它们之间似乎存在更加密切的关系, 而尉迟寺和大汶口组与它们的关系略为松散, 而介于昙石山与后一大类群之间。

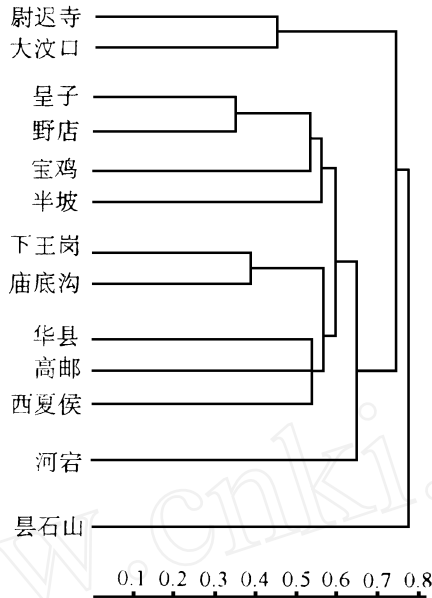


图 3 聚类图

Dendrogram of cluster analysis

4 拔牙现象

在鉴定的人骨中 (不计未成年), 有 30 个个体可明确是否存在拔牙习惯。其中, 仅有 4 例 (男 1 例, 女 3 例) 可确认其生前拔牙。拔牙个体的墓号、性别、年龄及拔牙形式如下:

M 83	女性	35—40 岁	2 ^f 2C
M 127	女性	35—40 岁	左 1 ^f C (右残破不明)
T 1865	女性	不小于 20 岁	2 ^f 2C
M 147	男性	40—50 岁	2 ^f

以此计, 拔牙率为 13.3%。从拔牙方式看, 3 例女性很可能都是 2^f 2C 型 (图版 II No. 5, No. 6), 即拔除上颌左、右侧门齿及犬齿, 而 1 例男性表现为仅拔除上颌左右一对侧门齿 (2^f) (图版 II No. 4)。在 4 例拔牙个体中, 最小年龄不小于 20 岁。

5 结果与讨论

1. 尉迟寺遗址的幼儿（小于6岁）的死亡率很高，占未成年总数的90%。成年男性的平均死亡年龄约32岁，女性约29岁。幼儿死亡率高这一现象，一方面可能与瓮棺葬易保存骨骼有关，另一方面也与原始社会的生活条件差等等因素相关。有些民族学材料认为，史前时期的儿童死亡率高的主要原因是母亲缺乏对婴幼儿的护理，使他们得不到合理的照管并缺乏适当的食物与环境，有的可能还与某种特殊风俗有关（亚·莫·卡尔-桑德斯，1983）。

2. 该遗址的少数人骨（13%）有拔牙现象，但该地区的拔牙风俗已经相当衰退。在观察到的3例女性标本中，拔牙形态为 $2I^2 2C$ ，一例男性为 $2I^2$ ，后一种形式与大汶口文化居民的普遍拔牙形式相同。涉及犬齿的拔牙形态在国内的材料中并不多见，山东茌平及湖北七里河（韩康信等，1981）材料中有 $2I^2 2C$ 的拔牙形式，这种形式也是台湾新石器时代居民和近代高山族的主要拔牙形式之一（铃木尚，昭和14）。两种不同的拔牙形态是否具有性别异型的意义，由于例数太少尚不宜定论。

3. 尉迟寺的新石器时代居民具有蒙古人种的一般形态特点，如卵圆形颅，颅顶缝简单，眉弓，眉间突度弱，鼻根凹陷浅，鼻骨低平，面部较扁平，颧骨较宽大，犬齿窝浅，椭圆形腭等。

4. 从测量数据的分析看，尉迟寺人骨明显偏离北亚类型和东北亚类型，而与东亚类型和南亚类型都表现出一定程度的接近。从各新石器时代类群12个项目的主成分分析结果看，大致可划分两大类群，它们分别代表了中国北部和南部的新石器时代类群。尉迟寺人骨似乎不能明确地划分到任一类群而居于两者之间，这种关系尤其表现在颅面部的宽度特征上。聚类分析结果是，尉迟寺与大汶口组首先聚类，说明两者在形态特征上存在比较一致的变异趋势。但这两个地点的头骨形态也并不完全相似，如大汶口组的颅指数为中颅型，尉迟寺头骨是明显的长狭颅型，另外，尉迟寺的面更低，鼻更宽，有阔鼻倾向，这些特点似乎使它更近于南亚蒙古人种类型，7项指数的主成分分析也支持这一结果，即在颅指数、鼻指数上，尉迟寺表现出与南亚类群相对一致的变异趋势。这种类似南蒙古人种的体质因素在我国北方地区从新石器时代延续到夏商时期（朱泓，1989），韩康信在研究仰韶古代居民的种族成分时指出“象仰韶新石器时代头骨的阔鼻、低眶倾向，与其列为现代种族特征，毋宁把他们当作保存了旧石器时代祖先类型的某种尚未充分分化的性质”（韩康信，1988）。张振标也认为，我国新石器时代居民在体征上保留着旧石器时代晚期居民的特征（张振标等，1982）。这好像为尉迟寺新石器时代人骨形态表现出的介于北方和南方类群之间的位置提供了理由。不过，本文的头骨例数很少，这样的结论是否可靠，有待今后更多的材料补充和验证。

本文在计算机数据处理中得到我所刘建国、高立兵两位同志的热心帮助，张蕾同志计算机绘图，在此谨表谢意。

参 考 文 献

- 朱 泓. 1989. 关于殷人与周人的体质类型比较. 华夏考古, (1): 103—108.
- 张振标. 1980. 从野店人骨论山东三组新石器时代居民的种族类型. 古脊椎动物与古人类, 18(1): 63—74.
- 张振标, 王令红, 欧阳莲. 1982. 中国新石器时代居民特征类型初探. 古脊椎动物与古人类, 20(1): 72—80.
- 张振标. 1984. 浙川下王岗新石器时代人骨之研究. 史前研究, (1): 68—76.
- 韩康信, 张振标, 曾凡. 1976. 闽侯县石山遗址的人骨. 考古学报, (1): 121—129.
- 韩康信, 潘其风. 1979. 陕县庙底沟二期文化墓葬人骨的研究. 考古学报, (2): 255—270.
- 韩康信, 潘其风. 1981. 我国拔牙风俗的源流及其意义. 考古, (1): 64—76.
- 韩康信, 潘其风. 1982. 广东佛山河宕新石器时代晚期墓葬人骨. 人类学学报, 1(1): 42—51.
- 韩康信. 1988. 仰韶新石器时代人类学材料研究中的几个问题. 史前研究, 240—256.
- 韩康信. 1990. 山东诸城呈子新石器时代人骨. 考古, (7): 644—654.
- 颜 , 刘昌芝, 顾玉琨. 1960. 宝鸡新石器时代人骨的研究报告. 古脊椎动物与古人类, 2(1): 33—43.
- 颜 , 吴新智, 刘昌芝等. 1960. 西安半坡人骨的研究. 考古, (9): 36—47.
- 颜 , 1962. 华县新石器时代人骨的研究. 考古学报, (2): 85—102.
- 颜 , 1972. 大汶口新石器时代人骨的研究报告. 考古学报, (1): 91—122.
- 颜 , 1973. 西夏侯新石器时代人骨的研究报告. 考古学报, (2): 91—126.
- 亚·莫·卡尔—桑德斯. 1983. 人口问题—人类进化研究. 商务印书馆.
- 铃木尚. 昭和 14. 人工的齿牙变形. 人类学先史学讲座, 12, 雄山阁.

THE OBSERVATION AND IDENTIFICATION OF THE PEOPLE OF NEOLITHIC AGE AT YUCHISI, ANHUI PROVINCE

Zhang Jun Han Kangxin

(The Institute of Archaeology, Chinese Academy of Social Sciences, Beijing 100710)

Abstract

Six human skulls of Neolithic Age unearthed at Yuchisi, Anhui Province, were observed and studied. The morphological observation and statistical analysis show that, compared with Asian Mongoloid, the Yuchisi people are not only close to the East Asian Mongoloid but also similar to the South Asian in some characteristics, for example, lower orbit and wide nose. The expression of the South Asian feature should be thought to retain some characteristics of Late Paleolithic race.

Key words The East Asian Mongoloid, Yuchisi, Neolithic Age